

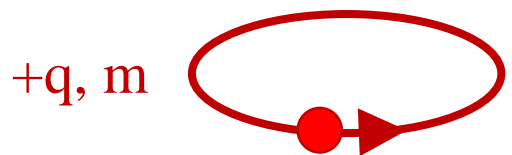
Момент Лондона и гиромагнитные эффекты

Момент Лондона – аналог эффекта Барнетта для сверхпроводника

Эффект Барнетта – частный случай гиromагнитных эффектов

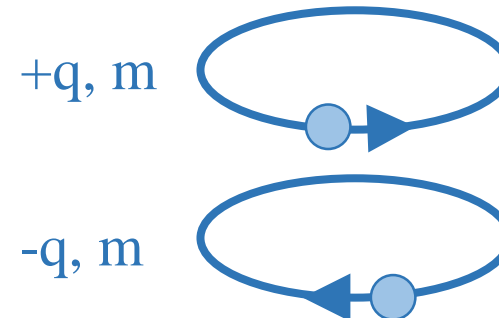
Начало рассмотрения гиromагнитных эффектов: теорема Лармора, гипотеза Ампера

Гипотеза Ампера



«магнит + ротор гироскопа»

$$\frac{\vec{M}_0}{\mu_0} \neq \vec{0}$$



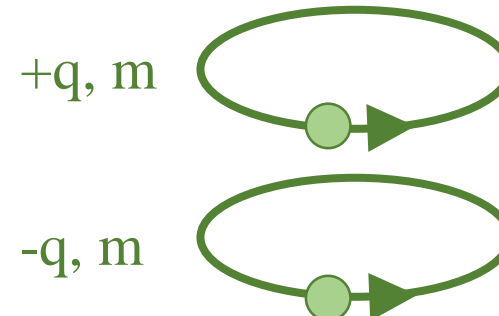
$$\frac{\vec{M}_0}{\mu_0} = \vec{0}$$

Гиромагнитное соотношение:

$$\gamma_0 = \frac{\mu_0}{M_0}$$

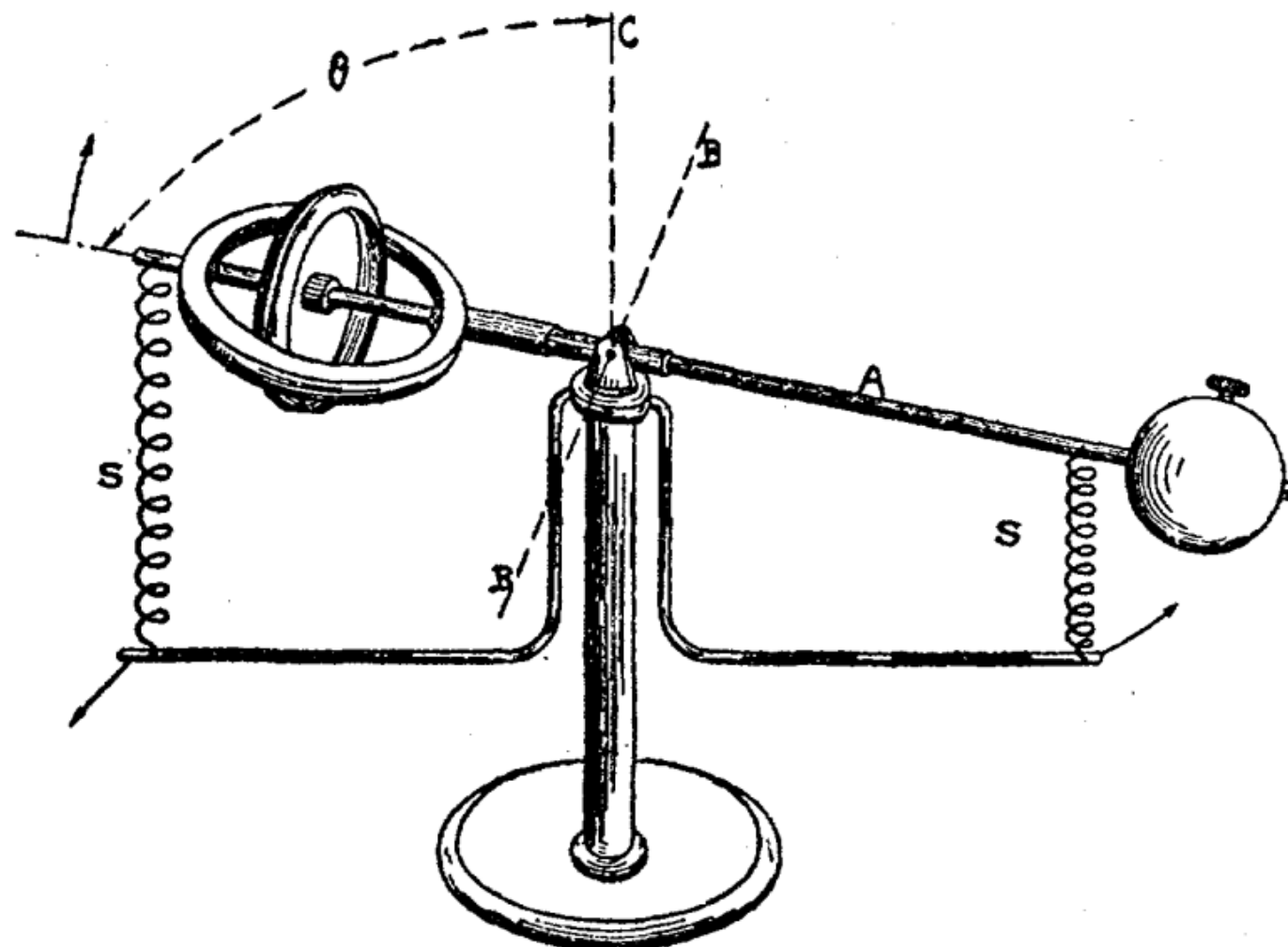
Орбитальное соотношение для электрона: $\gamma_0 = -\frac{e}{2mc}$

Соотношение для произвольной системы: $\gamma = g\gamma_0$



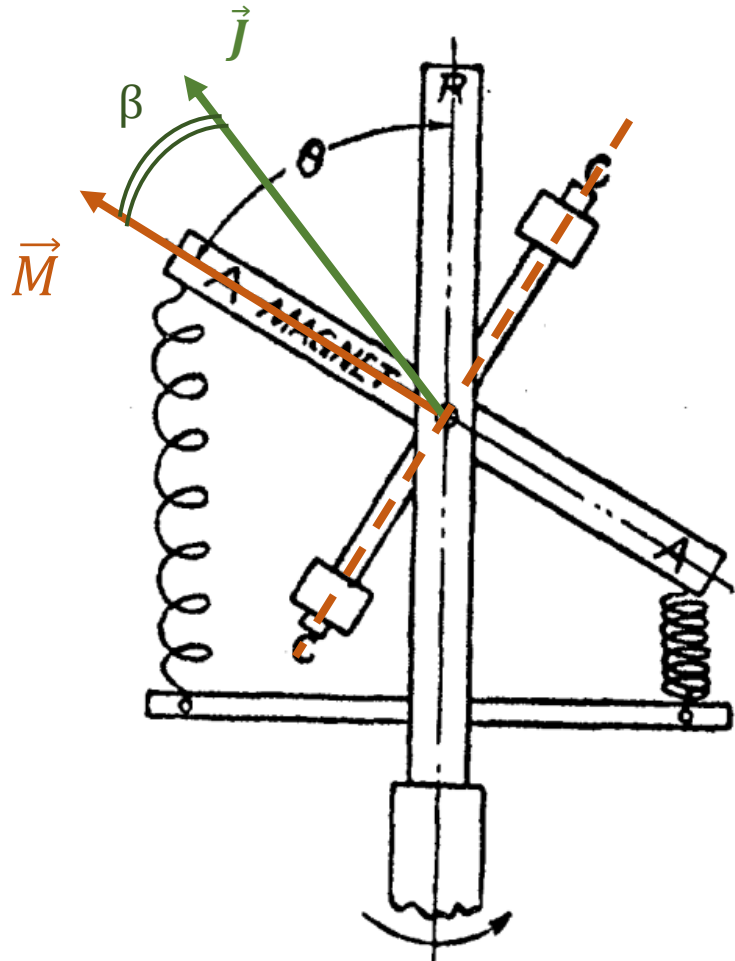
$$\frac{\vec{M}_0}{\mu_0} \neq \vec{0}$$

Механическая модель, иллюстрирующая гиromагнитные эффекты



S. Barnett, "Gyromagnetic and electron-inertia effects", *Review of Modern Physics*, vol. 7, pp. 129–166, 1935.

Эксперимент Максвелла



$$\Omega = \text{const}, \theta = \text{const}$$

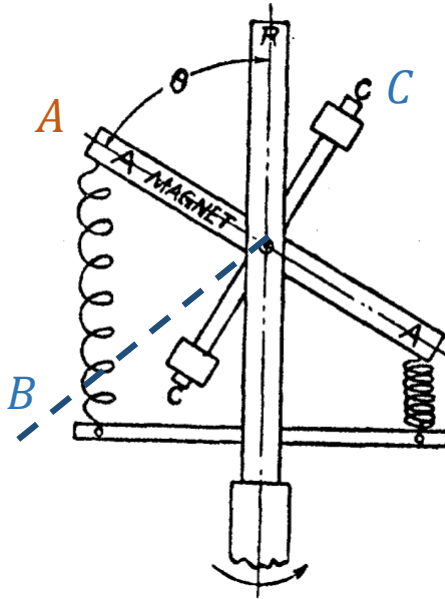
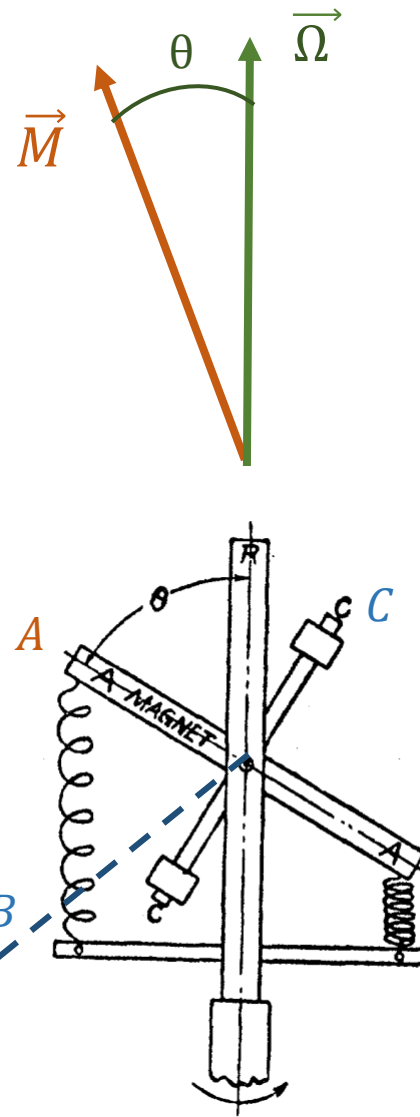
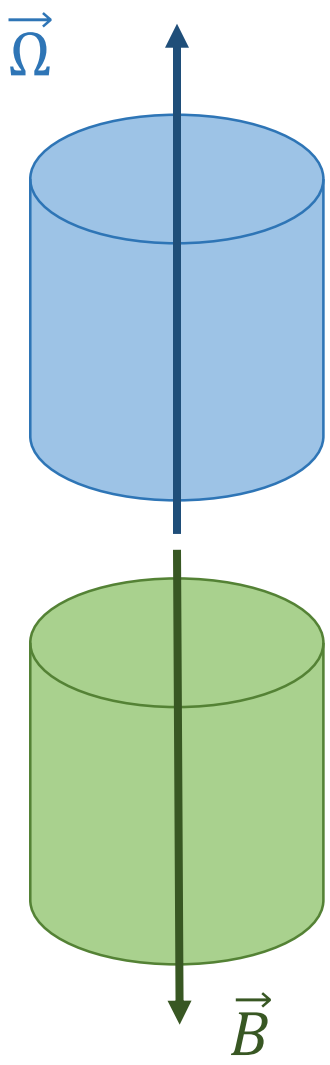
$$\begin{cases} J\cos\beta = A\Omega\cos\theta + M \\ J\sin\beta = C\Omega\sin\theta \\ T = \Omega J\sin(\theta - \beta) \end{cases}$$

$$T = [M_0\Omega + (A - C)\Omega^2\cos\theta]\sin\theta$$

Состояние равновесия:

$$\cos\theta = \frac{M}{(C - A)}\Omega \quad C > A$$

Эффект Барнетта



$$\vec{\mu}, \vec{\mu} = \vec{M}\gamma \Rightarrow \overrightarrow{H_{rot}} = \gamma^{-1}\vec{\Omega}$$

Момент механической силы:

$$T = [M_0\Omega + (A - C)\Omega^2 \cos\theta] \sin\theta$$

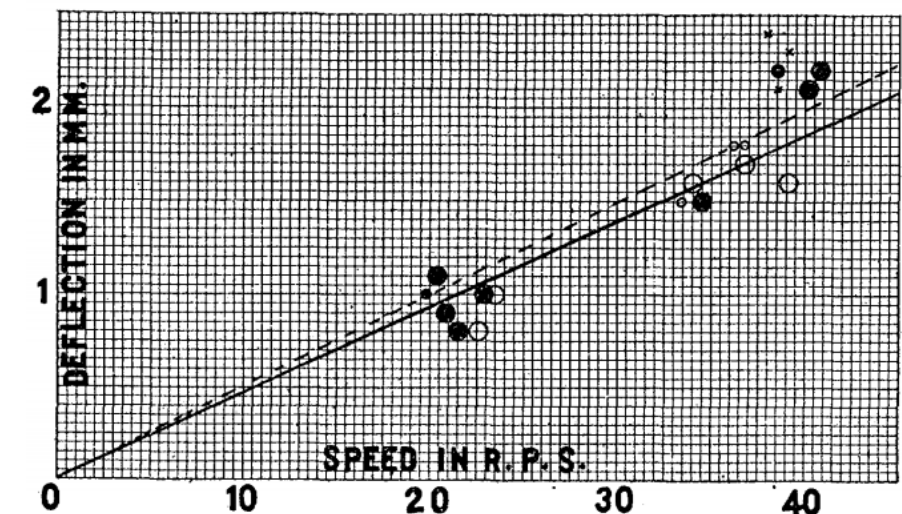
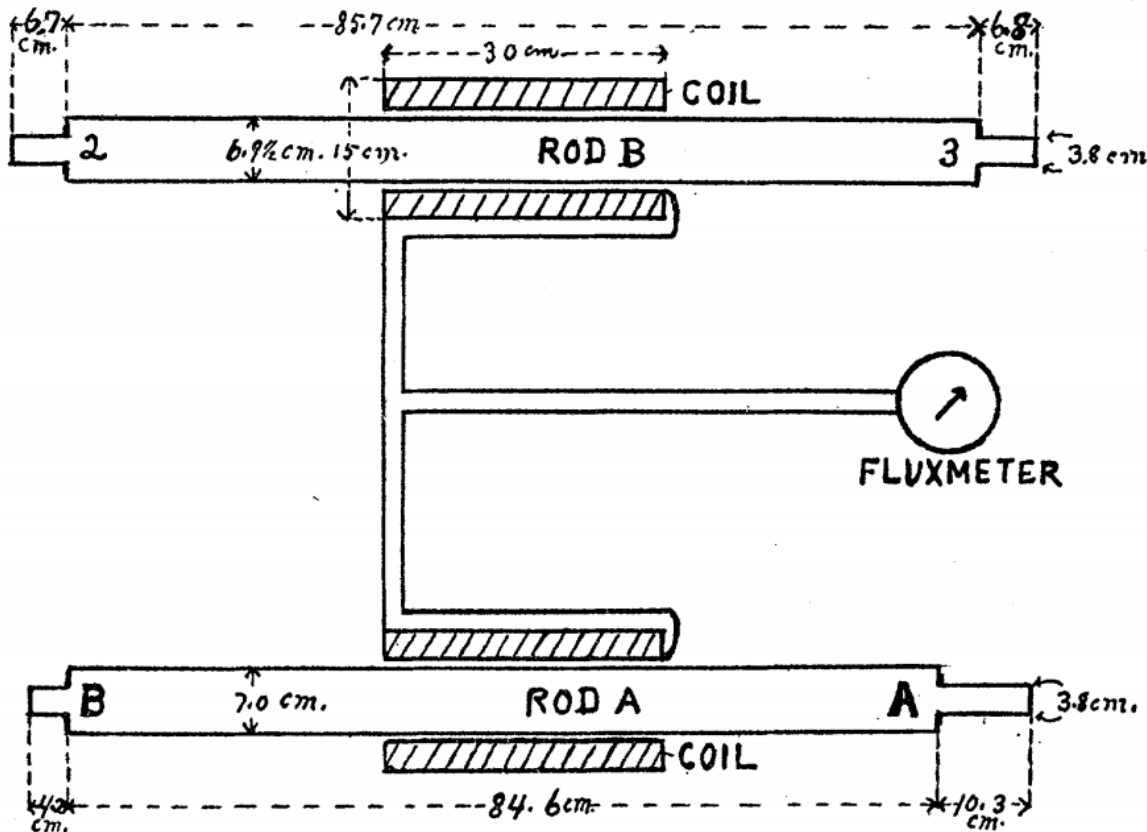
Момент силы в магнитном поле:

$$T' = \mu_0 H \sin\theta$$

$$T' = T \Rightarrow \mu_0 H \sin\theta = [M_0\Omega + (A - C)\Omega^2 \cos\theta] \sin\theta$$

$$\Omega \leq 500 \text{ Гц}, \Delta H \sim 10^{-4} \text{ Гс}$$

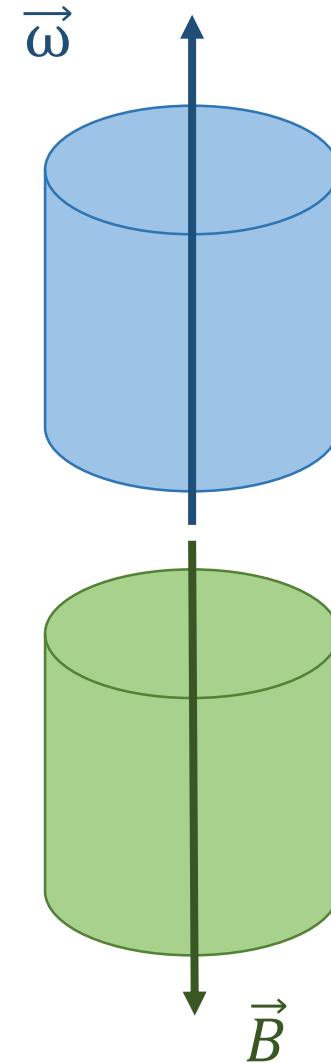
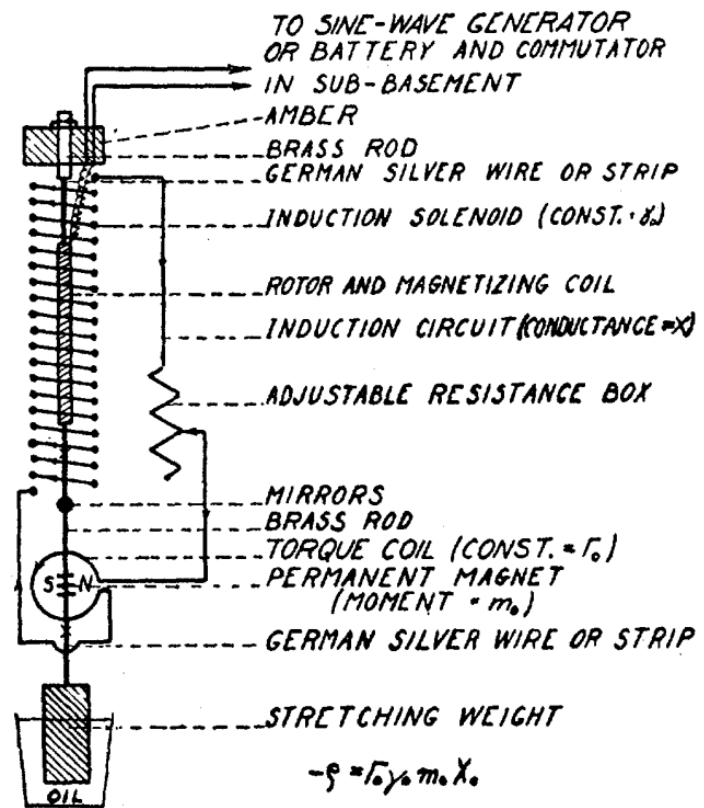
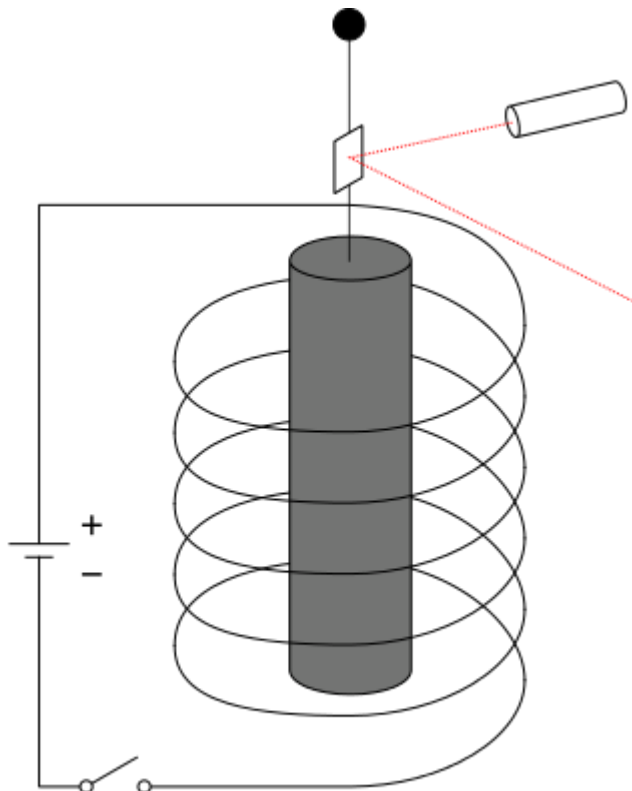
Эффект Барнетта – эксперимент



S. Barnett, "Magnetisation by rotation", *The Physical Review*, vol. VI, no. 4, pp. 239–270, 1915.

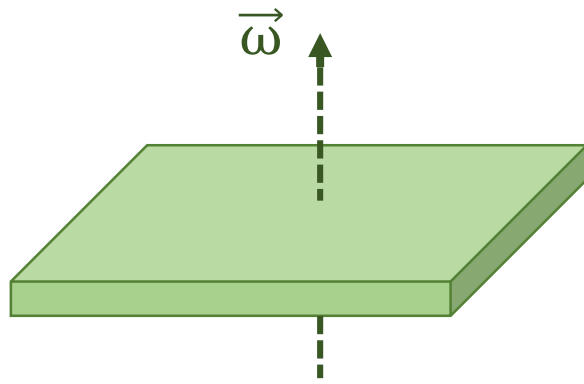
Эффект Эйнштейна – де Гааза

$$\vec{H} \Rightarrow \Delta \vec{\mu} \Rightarrow \overrightarrow{\Delta M_{concealed}} \Rightarrow \Delta \vec{M}$$



O.W. Richardson, Phys.Rev. 26, 248 (1908)

Эффект Барнетта в тонких плёнках



$$\mathbf{m}_R = (\sin \theta \cos \phi, \sin \theta \sin \phi, \cos \theta)$$

Стационарные состояния:

$$\dot{\mathbf{m}}_R = 0 \quad \dot{\phi}(t) = \omega = \text{const}$$

Уравнение Ландау — Лифшица — Гильберта:

$$\dot{\mathbf{m}} = -\gamma \mathbf{m} \times \mathbf{H}_{\text{eff}} + \alpha \mathbf{m} \times \dot{\mathbf{m}}$$

Во вращающейся системе отсчёта:

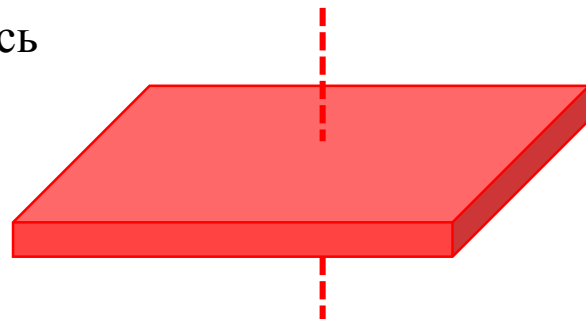
$$\dot{\mathbf{m}}_R = \mathbf{m}_R \times [-\gamma \mathbf{H}_{\text{eff}}^R + \dot{\phi}(t) \mathbf{e}_z + \alpha \dot{\mathbf{m}}_R]$$

$$0 = \mathbf{m}_R \times (-\gamma \mathbf{H}_{\text{eff}}^R + \omega \mathbf{e}_z)$$

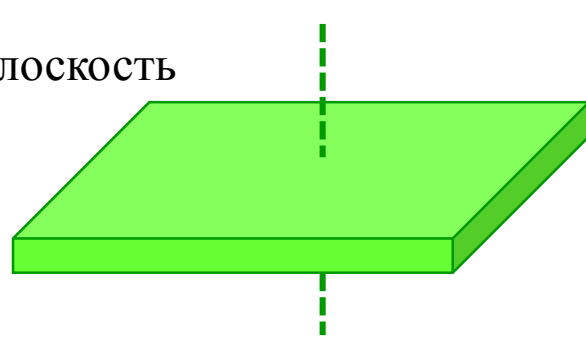
$$H_{\text{eff}} = -M_s D m_z$$

Эффект Барнетта в тонких плёнках

$D < 0$,
лёгкая ось

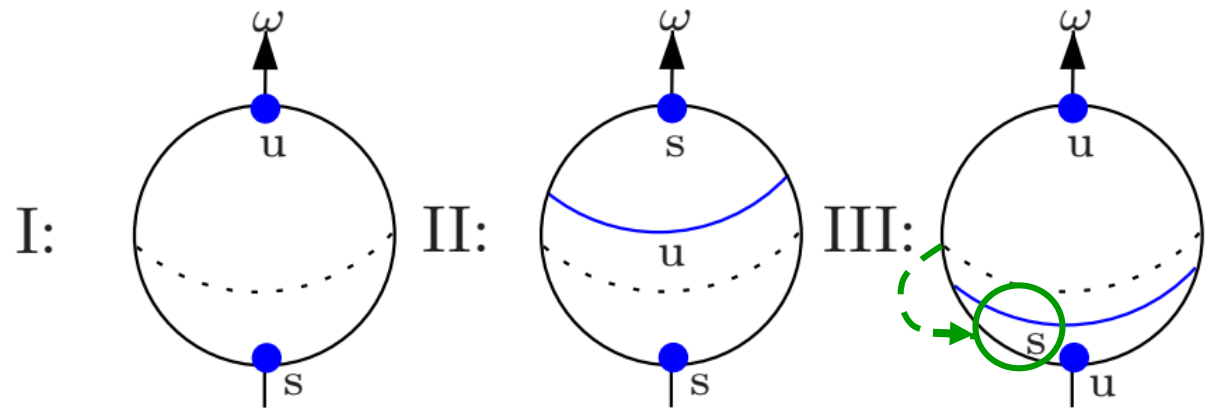
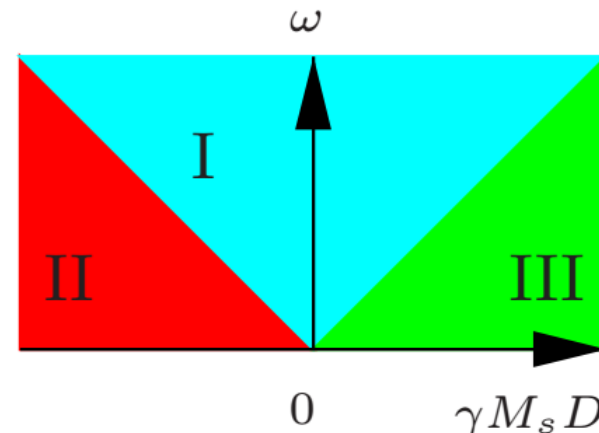


$D > 0$,
лёгкая плоскость



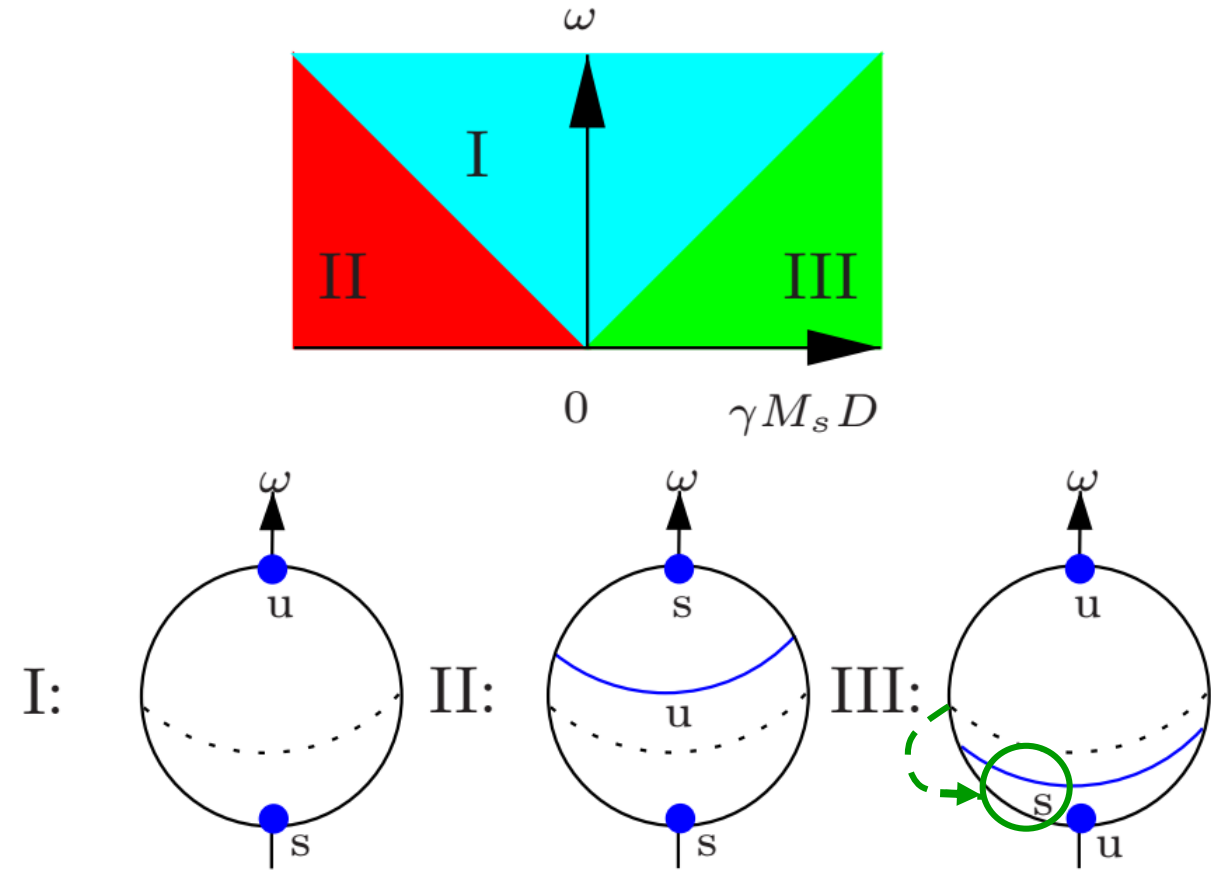
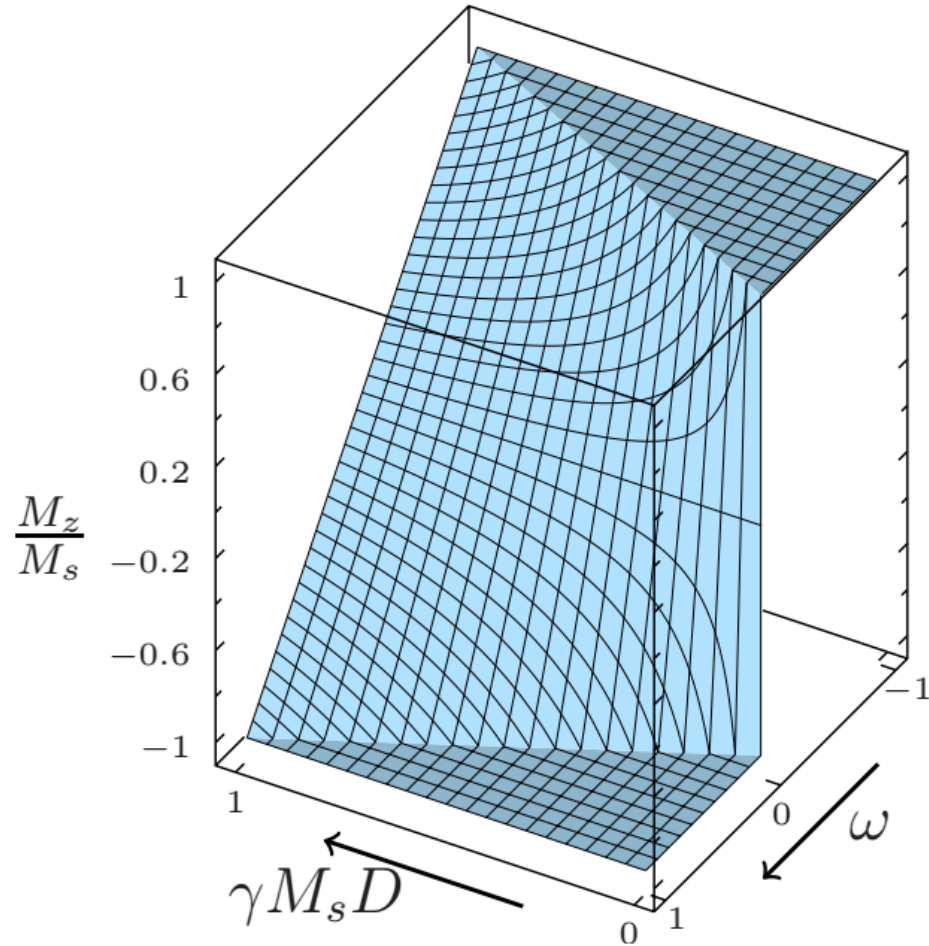
$$\omega > \gamma M_s |D| \Rightarrow \theta = 0, \theta = \pi$$

$$\omega < \gamma M_s |D| \Rightarrow \theta = 0, \theta = \pi, \cos(\theta_2) = -\frac{\omega}{\gamma M_s D}$$



Вращение \Rightarrow z-компоненты
стационарного состояния

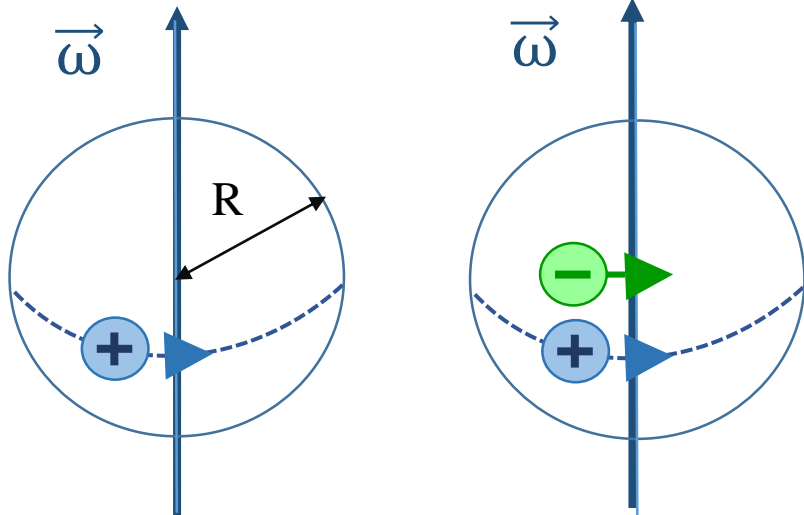
Эффект Барнетта в тонких плёнках



Вращение \Rightarrow z-компоненты
стационарного состояния

Момент Лондона

$$\vec{\omega} \Rightarrow \vec{j} \Rightarrow \vec{h}(t) \Rightarrow \vec{E}$$



$$rot(\vec{p}_s) = \vec{0} = rot\left(-i\hbar\nabla + \frac{e}{c}\vec{A}\right)$$

$$rot(\vec{v}) = -\frac{e}{mc}\vec{h}$$

$$rot(\vec{h}) = -\frac{4\pi n_s e}{c}(\vec{v} - \vec{v}_0)$$

\vec{v}_0 – локальная скорость тела

$$\begin{cases} rotrot(\vec{v} - \vec{v}_0) = -\beta^2(\vec{v} - \vec{v}_0) \\ rotrot(\vec{h}) = -\beta^2\left(\vec{h} + \frac{2mc}{e}\vec{\omega}\right) \end{cases}, r < R$$

$$\begin{cases} div(\vec{h}) = 0 \\ rot(\vec{h}) = 0 \end{cases}, r > R$$

Характерный масштаб: $\beta^2 = \frac{1}{\lambda^2} = \frac{4\pi n_s e^2}{mc^2}$

$$j_\varphi \vec{e}_\varphi = n_s e(\vec{v} - \vec{v}_0) \approx -\frac{e^{-\beta(R-r)}}{\beta} \sin\theta \frac{3n_s \omega e}{\beta} \vec{e}_\varphi, (r \rightarrow R - 0)$$

Магнитный момент: $M = \frac{mc\omega}{e} R^3 \left\{ 1 - \frac{3}{\beta R} \coth(\beta R) + \frac{3}{\beta^2 R^2} \right\}$

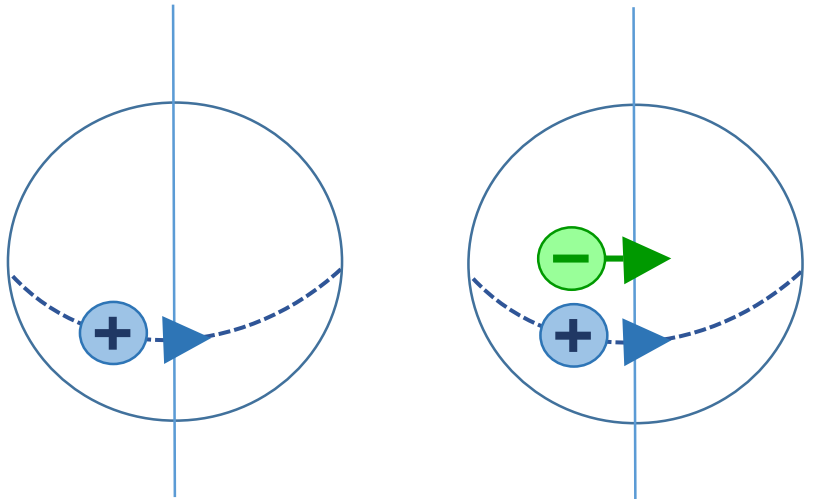
$$\vec{j} = \int n_s m (\vec{v} - \vec{v}_0) \vec{r} dv \quad J = \frac{2mc}{e} M$$

$$\vec{p}_A = \frac{n_s |e|}{c} \vec{A} - \frac{n_s |e|}{c} \vec{A} = 0$$

\vec{p} = “не-сп импульс” + “вклад приповерхностных сп-электронов”

Момент Лондона

$$\vec{\omega} \Rightarrow \vec{j} \Rightarrow \vec{B}(t) \Rightarrow \vec{E}$$



Из уравнений Лондона:

$$\oint \vec{p}_s d\vec{l} = \oint (m\vec{v}_s + e\vec{A}) d\vec{l} = \frac{nh}{2}$$

$$\vec{B}_{equal} = -\frac{2m}{e}\vec{\Omega}$$

Из уравнений Гинзбурга-Ландау:

$$\frac{m}{e^2 n_s} \oint_{\Gamma} \vec{j} d\vec{l} = \frac{nh}{2e} - \int_{S_{\Gamma}} \vec{B} d\vec{s} - \frac{2m}{e} \vec{\Omega} \cdot \vec{S}_{\Gamma}$$

Толстое кольцо $\Rightarrow \vec{j} = 0, \vec{B} = 0$, момент Лондона

Тонкое кольцо \Rightarrow для каждого целого n есть $\vec{\Omega}_n$,
соответствующее нулевому потоку.
Разность соответствующих частот:

$$\frac{h}{2\pi m} = 2S_{\Gamma} \Delta\nu$$

Момент Лондона: определение массы куперовской пары

Определение:

$$m^* \vec{v} = \hbar \nabla \varphi - \frac{e^*}{c} \vec{A}$$

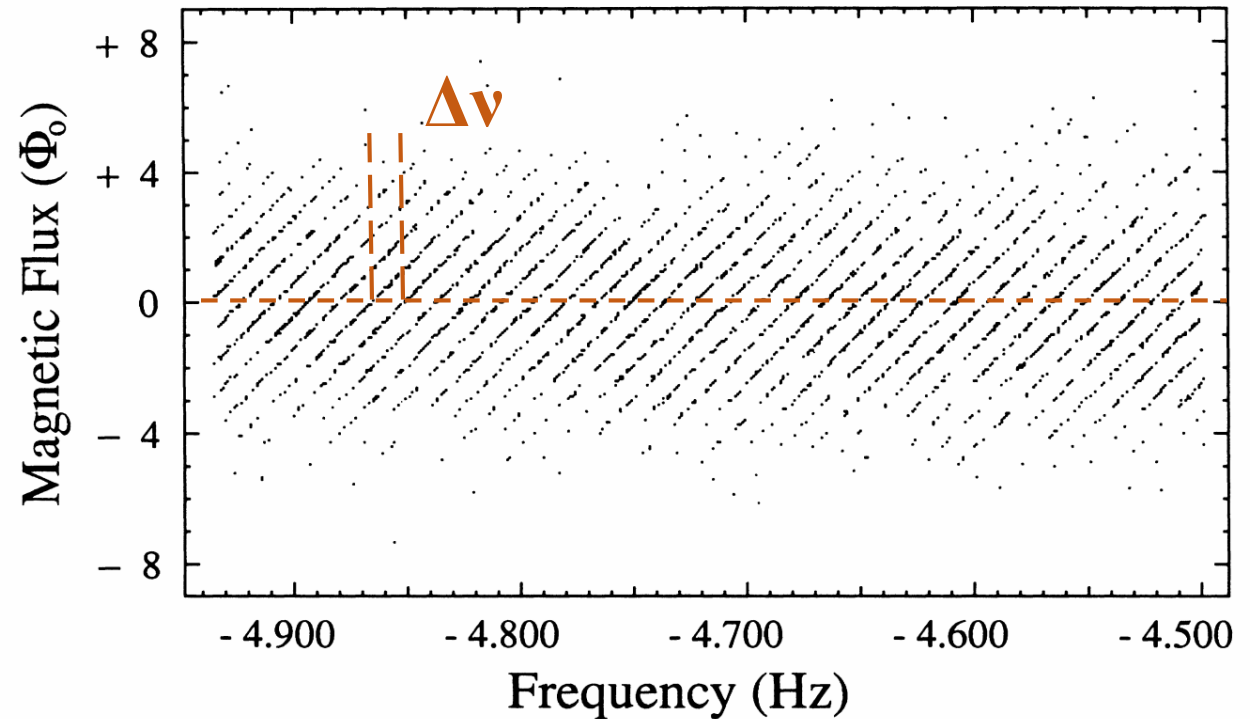
Причины отклонений от $2m_e$:

- кинетическая энергия пары
- изменение внутреннего электростатического потенциала при вращении => изменение \vec{A}

Определение из наблюдаемого:

$$m^* \vec{v} + \frac{e^*}{c} \vec{A} = m' \vec{v} + \frac{e^*}{c} \vec{A}_{obs}$$

$$\frac{\hbar}{m'} = 2S\Delta\nu \Rightarrow \frac{m}{2m_e} \approx 1.000084$$



- J. Tate, B. Cabrera, S. Felch, and J. Anderson, "Precise determination of the cooper-pair mass", *Physical Review Letters*, vol. 62, no. 8, pp. 845–848, 1989.
J. Tate, B. Cabrera, S. Felch, and J. Anderson, "Determination of the cooper-pair mass in niobium", *Physical Review B*, vol. 42, no. 13, pp. 7885–7893, 1990.

Момент Лондона: термодинамический и микроскопический подход

$$\mathbf{B} = -[2m_e(1 + \zeta)c/e]\Omega$$

Микроскопические теории:

$$\zeta \approx (v_F/c)^2 \approx 2 \times 10^{-4}$$

Термодинамические теории:

$$\zeta = \tilde{\mu}/c^2 \approx -10^{-10}$$

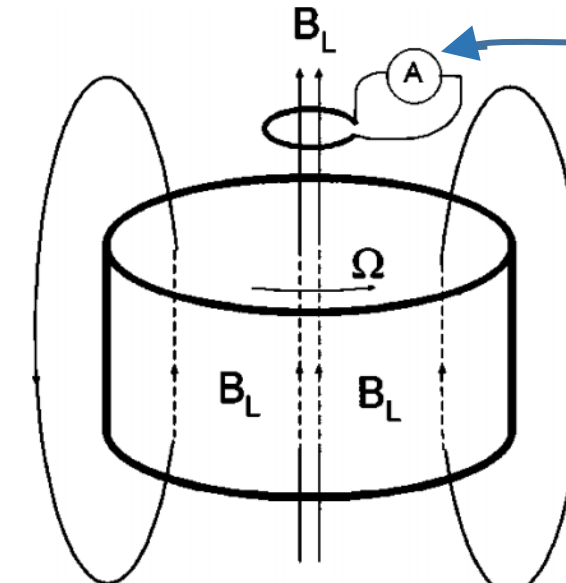
$\mu_-, \mu_+, \mu, \Delta\Phi$ – энергия, необходимая
для переноса с бесконечности в данную точку
электрона, иона, единичной массы
и единичного заряда.

$$\mu = c^2 + \tilde{\mu}$$

$$\oint \mathbf{A} \cdot d\mathbf{s} = \int \mathbf{B} \cdot d\mathbf{a}$$

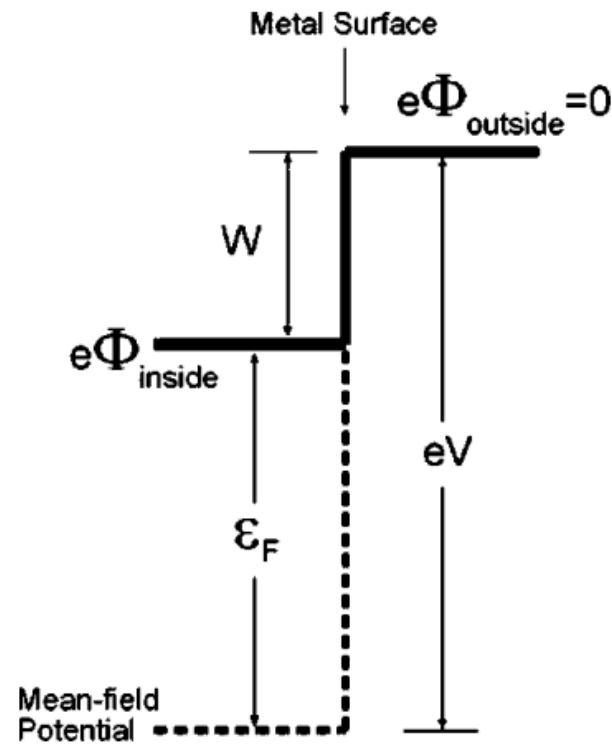
Вклад в поток: момент Лондона
и «двойной слой»: $\rightarrow T > T_c$

$$\Delta \mathbf{A} = -(\Omega \times \mathbf{r}) \Delta \Phi / c$$



Y. Jiang and M. Liu, "Rotating superconductors and the london moment: Thermo-dynamics versus microscopics", *Physical Review B*, vol. 63, no. 184506, 2001.

Момент Лондона: термодинамический и микроскопический подход



$$W - \epsilon_F = eV \quad W = \tilde{\mu}_-$$

Если $\Delta\Phi$ – потенциал, в котором находятся сверх-электроны, создаваемые *всеми распределениями зарядов: поверхностными диполями, неоднородностями заряда атомных ядер и валентных электронов...*

$$V = \Delta\Phi$$

$$\zeta(m_e c^2) = \tilde{\mu}_- - e\Delta\Phi = W - eV = \epsilon_F$$

$$\zeta = \frac{1}{2}(v_F/c)^2 \approx 1.8 \times 10^{-4}$$

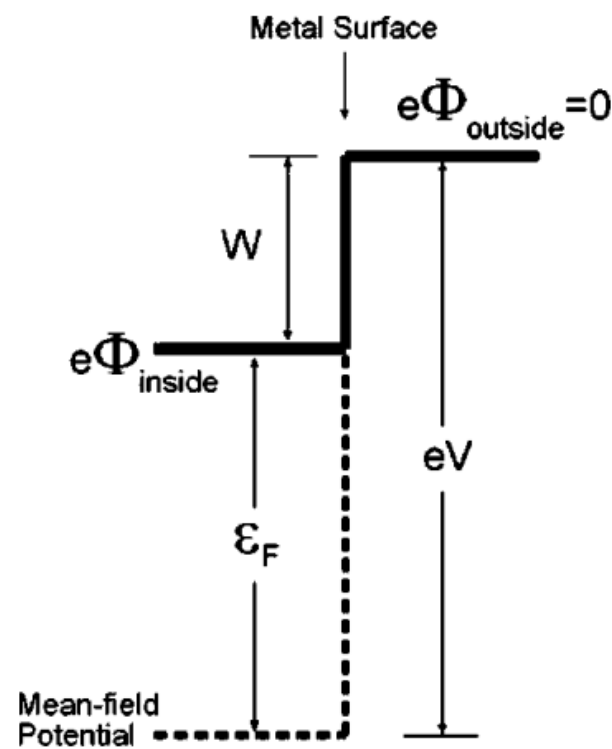
ϵ_F – энергия Ферми

W – работа выхода

$e\Phi$ – макроскопический электростатический потенциал

eV – потенциал среднего поля

Момент Лондона: термодинамический и микроскопический подход



ϵ_F – энергия Ферми

W – работа выхода

$e\Phi$ – макроскопический электростатический потенциал

eV – потенциал среднего поля

$\Delta\Phi$ – потенциал, содержащий вклад всех других электронов, включая сверхпроводящие:

Термодинамическое определение потенциала $\Delta\Phi$:

$$W = \tilde{\mu}_- = e\Delta\Phi$$

Вместо: $V = \Delta\Phi$

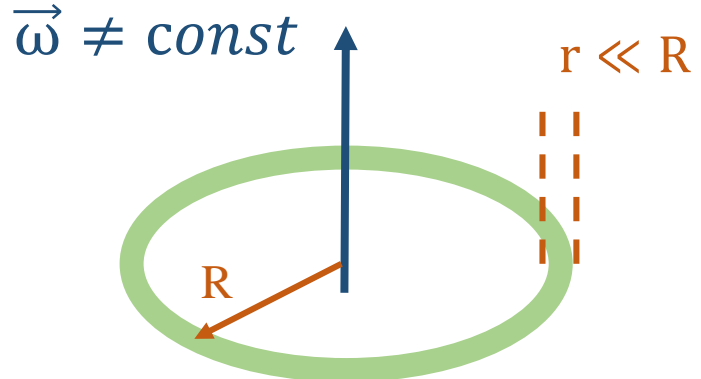
$$m_{obs} = (1 + \zeta)(1 - \alpha)m_e$$

$$(m_{obs}/m_e) - 1 = \zeta - \alpha$$

α – вклад «двойного слоя», определяется работой выхода

ζ – определяется химическим потенциалом

Электронно-инерционные эффекты



L_s – магнитная индуктивность кольца

$L_k = \frac{mc^2 l}{Se^2 n^-}$ – кинетическая индуктивность

$T \rightarrow T_c \Rightarrow n_- \rightarrow 0 \Rightarrow$ может стать $L_k > L_s$

Н. Пенин, «Инерция электронов в сверхпроводящем кольце при неравномерном вращении», *Физика твёрдого тела*, т. 38, № 5, с. 1493–1499, 1996.

Разгон: $\frac{d\Phi}{dt} = \frac{1}{c} L_m \frac{dI^+}{dt} = \frac{1}{c} L_m S e n^+ \frac{dv}{dt}$ $I^- = -S e n^+ u$

$$I^-_k = -\frac{L_s}{L_k + L_s} I^+_k$$

$$I = I^-_k + I^+_k = I^+_k \frac{L_k}{L_k + L_s}$$

$$L_k \ll L_s \Rightarrow I^-_k = -I^+_k, \quad I_k = 0, \quad \vec{B} \approx 0$$

$$L_k \gg L_s \Rightarrow I_k = I^+_k, \quad \vec{B} \neq 0$$

$$I = \frac{s e v_0 n^-}{1 + L_s \left(\frac{s e^2 n^-}{2 \pi R m c^2} \right)} \rightarrow 0 \quad \text{при } T \rightarrow T_c$$

Торможение: сначала $I_a^- = -I_a^+ = -S e n^+ v_0$

$$I_k = I^-_k$$

$$I^-_k = -I_a^+ \frac{L_k}{L_k + L_s}$$

$$L_k \ll L_s \Rightarrow I_k = 0, \quad \vec{B} \approx 0$$

$$L_k \gg L_s \Rightarrow I_k = -I_a^+, \quad \vec{B} \neq 0$$

$$I = \frac{s e v_0 n^-}{1 + L_s \left(\frac{s e^2 n^-}{2 \pi R m c^2} \right)}$$

Гравитомагнитный эффект Лондона

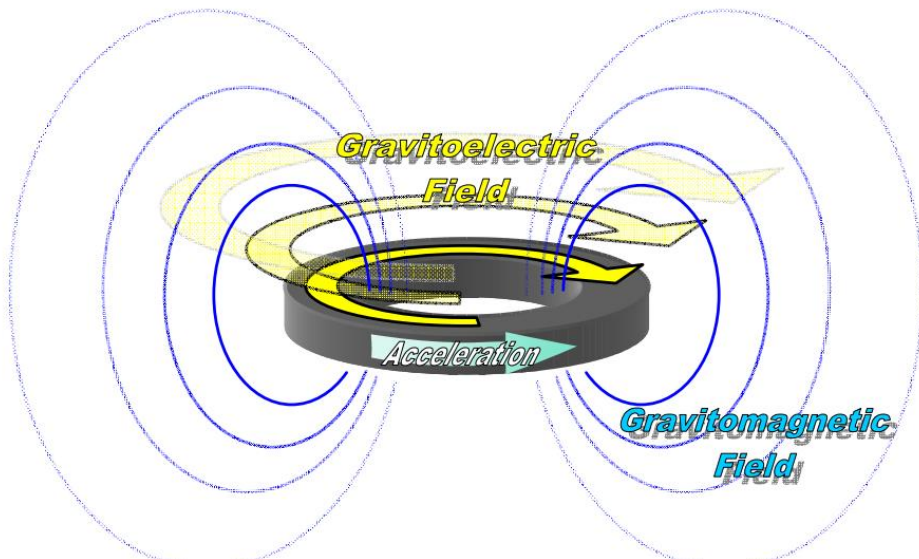
$$\oint \vec{p}_s d\vec{l} = \oint \left(m\vec{v}_s + e\vec{A} \right) d\vec{l} = \frac{nh}{2}$$

$$\vec{B}_{equal} = -\frac{2m}{e}\vec{\Omega}$$

\vec{g} – гравитационное поле

\vec{B}_g – гравитационное поле «магнитного типа»

\vec{A}_g – гравитомагнитный векторный потенциал



$$m\vec{v}_2 = m\vec{v}_2 - \int m \vec{g} dt$$

$$rot(\vec{g}) = -\frac{1}{c} \frac{\partial \vec{B}_g}{\partial t}$$

$$\vec{B}_g = rot(\vec{A}_g)$$

$$rot(\vec{g}) = -\frac{1}{c} \frac{\partial (rot(\vec{A}_g))}{\partial t}$$

$$\vec{g} = -\frac{1}{c} \frac{\partial \vec{A}_g}{\partial t} + \nabla \chi$$

$$m\vec{v}_2 = m\vec{v}_2 - \frac{m}{c} \vec{A}_g$$

$$\vec{p} = m\vec{v} + \frac{m}{c} \vec{A}_g + \frac{e}{c} \vec{A}$$

D.K. Ross, J. Phys. A: Math. Gen. 16 1331 (1983)

“The London equations for superconductors in a gravitational field”

Гравитомагнитный эффект Лондона

В рассмотрение включены \vec{A}_g и \vec{B}_g
– гравитомагнитный векторный потенциал
и гравитомагнитное поле:

$$\oint \vec{p}_s d\vec{l} = \oint \left(m\vec{v}_s + e\vec{A} + m\vec{A}_g \right) d\vec{l} = \frac{nh}{2}$$
$$\frac{m}{e^2 n_s} \oint_{\Gamma} \vec{j} d\vec{l} = \frac{nh}{2e} - \int_{S_{\Gamma}} \vec{B} d\vec{s} - \frac{m}{e} \int_{S_{\Gamma}} \vec{B}_g d\vec{s} - \frac{2m}{e} \vec{\Omega} \vec{S}_{\Gamma}$$

Толстое кольцо \Rightarrow
модификация Лондоновского поля:

$$\vec{B} = -\frac{2m}{e} \vec{\Omega} - \frac{m}{e} \vec{B}_g$$

$$\vec{B}_g = -\frac{4\pi G}{c^2 \mu_0} \frac{m}{e} \vec{B} = -7.41 * 10^{-21} * \frac{m}{e} \vec{B}$$

Поток гравитомагнитного поля, в отличие от магнитного, содержит вклад «решётки» \Rightarrow из равенства нулю тока следует не равенство нулю потока, а:

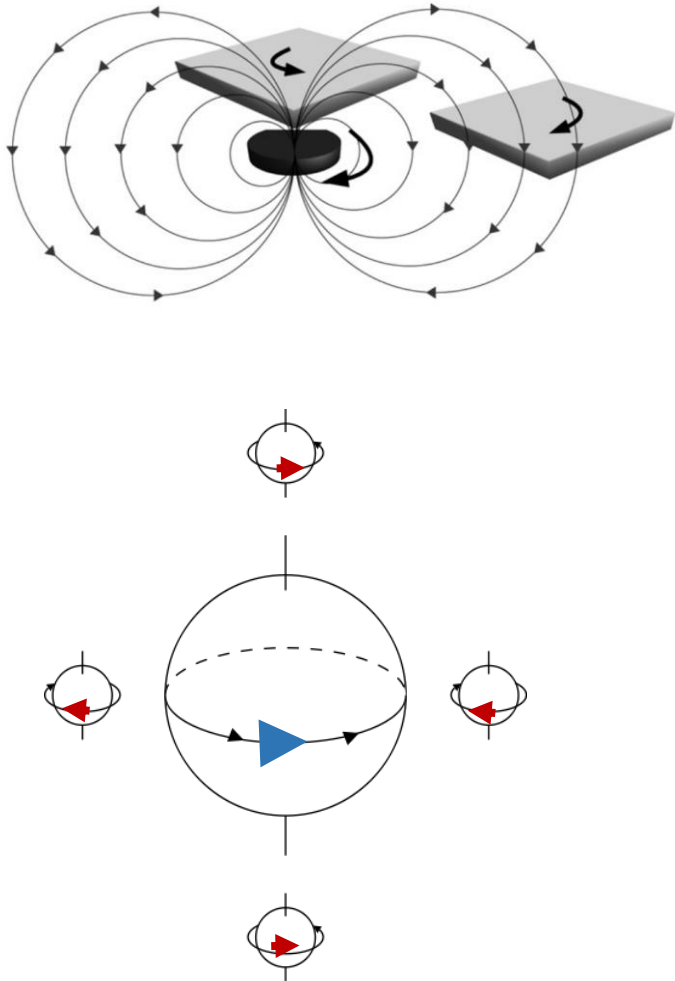
$$\frac{h}{2\pi m} = 2S \left(\Delta\nu + \frac{\Delta B_{g, \text{решётка}}}{2\pi} \right)$$

вместо $\frac{h}{2\pi m} = 2S_{\Gamma} \Delta\nu$

$$\frac{m}{2m_e} \approx 1.000084 \Rightarrow \vec{B}_g = \vec{\omega} \cdot 1.84 \times 10^{-4}$$

M. Tajmar, C. de Matos, Physica C 385 (2003) 551.
M. Tajmar, C. de Matos, Physica C 420 (2005) 56.

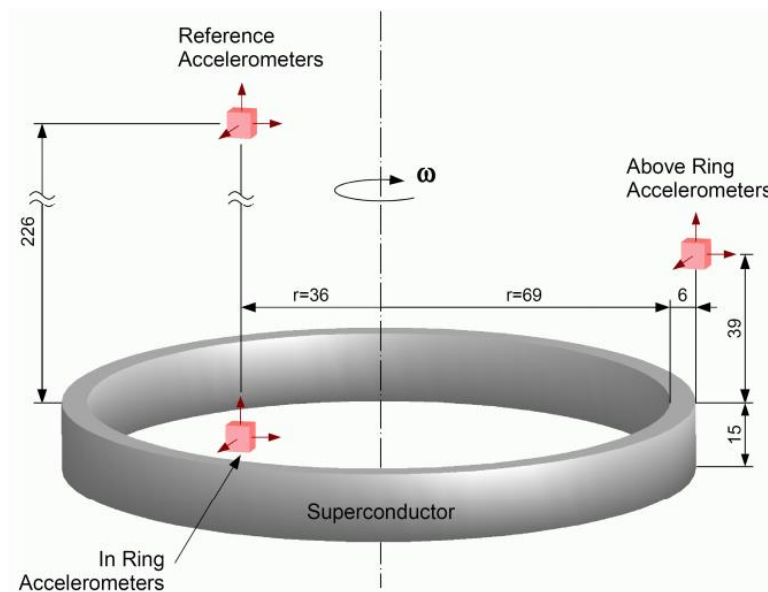
Эффект Лензе – Тирринга



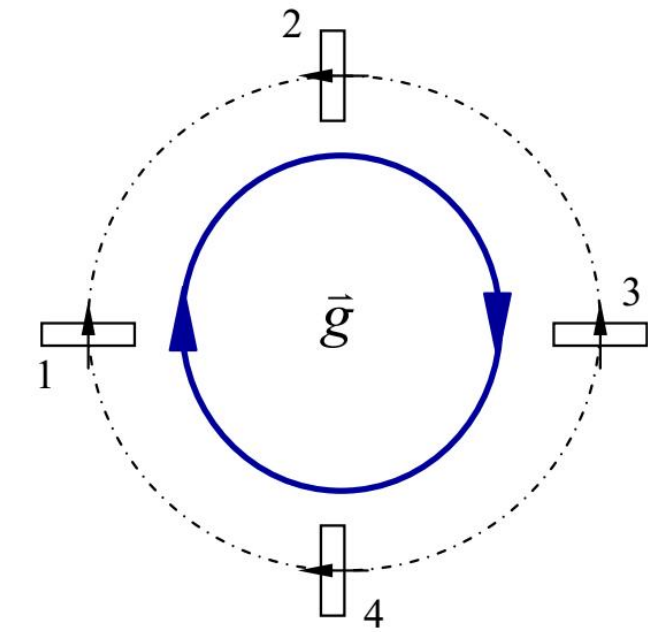
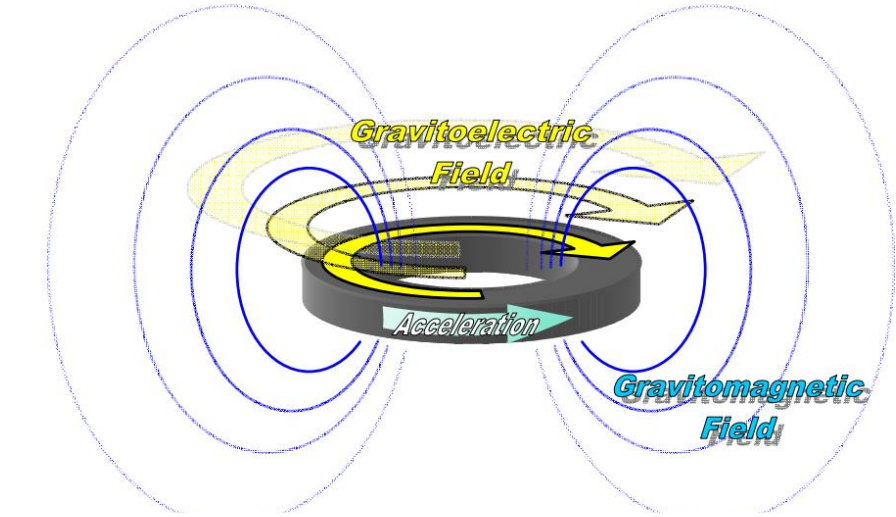
$$\boldsymbol{\Omega}' = \frac{GI}{c^2 R^3} \left[\frac{3\mathbf{R}}{R^2} (\boldsymbol{\Omega} \cdot \mathbf{R}) - \boldsymbol{\Omega} \right]$$

$$B_g^* = 2\Omega \frac{\rho^*}{\rho}$$

$$g = -\dot{B}_g \frac{r}{2} \cdot \hat{\phi} = -\frac{\rho^*}{\rho} r \dot{\omega} \cdot \hat{\phi}$$

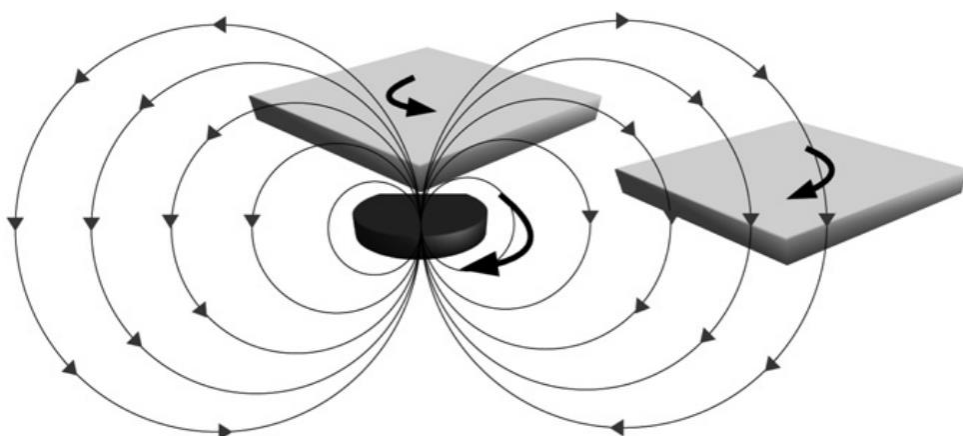


(a) Single-Configuration (all Measures in mm).



(b) Curl-Configuration.

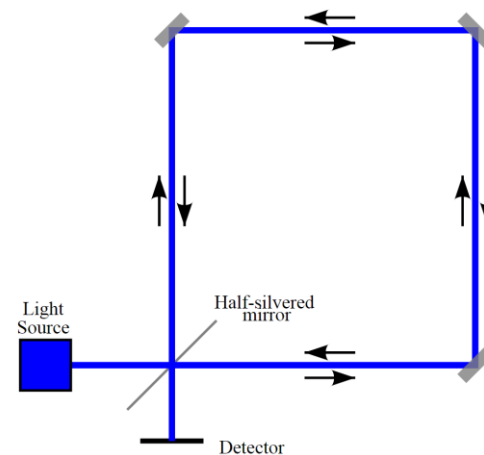
Эффект Лензе – Тирринга



$$\boldsymbol{\Omega}' = \frac{GI}{c^2 R^3} \left[\frac{3\mathbf{R}}{R^2} (\boldsymbol{\Omega} \cdot \mathbf{R}) - \boldsymbol{\Omega} \right]$$

$$B_g^* = 2\Omega \frac{\rho^*}{\rho}$$

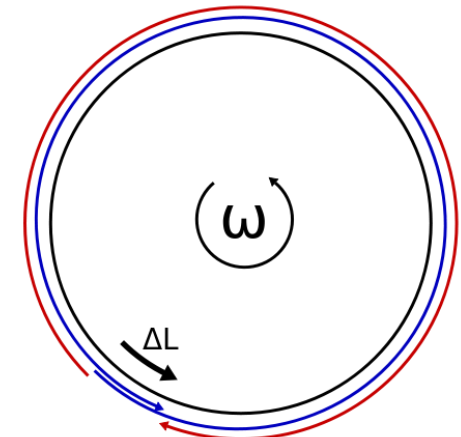
Эффект Саньяка:



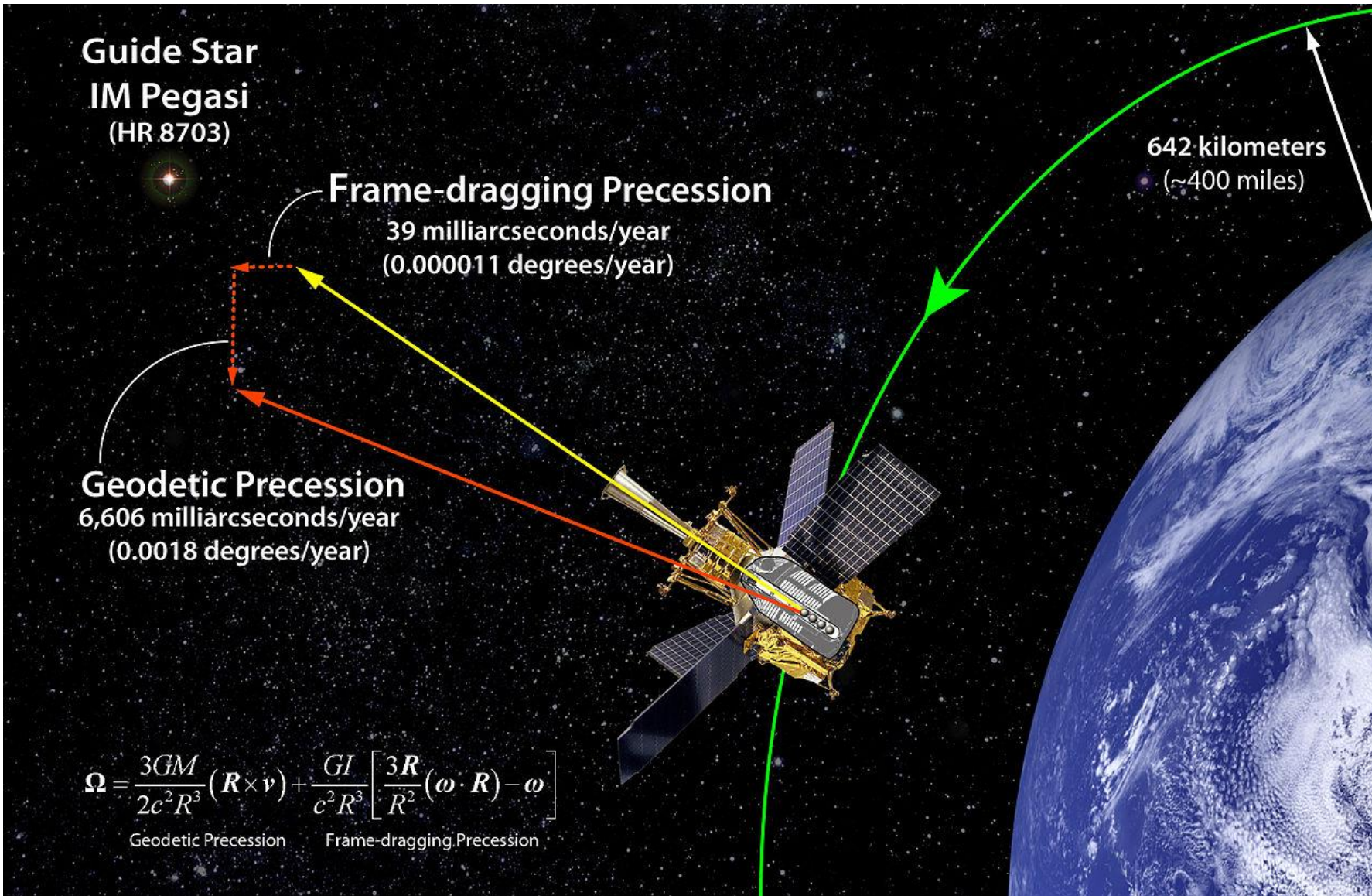
$$f_s = \frac{4\vec{A}\vec{\Omega}}{\lambda L} \Rightarrow \Delta f_s = \frac{4AB'_g}{\lambda P}$$

$$\Delta f_s = 4.81 \times 10^{-5} \omega \text{ Hz}$$

R. Graham, R. Hurst, R. Thirkettle, C. Rowe, and P. Butler, "Experiment to detect frame dragging in a lead superconductor", *Physica C*, no. 468, pp. 383–387, 2008.



Gravity Probe B: 2004-2005



Gravity Probe B

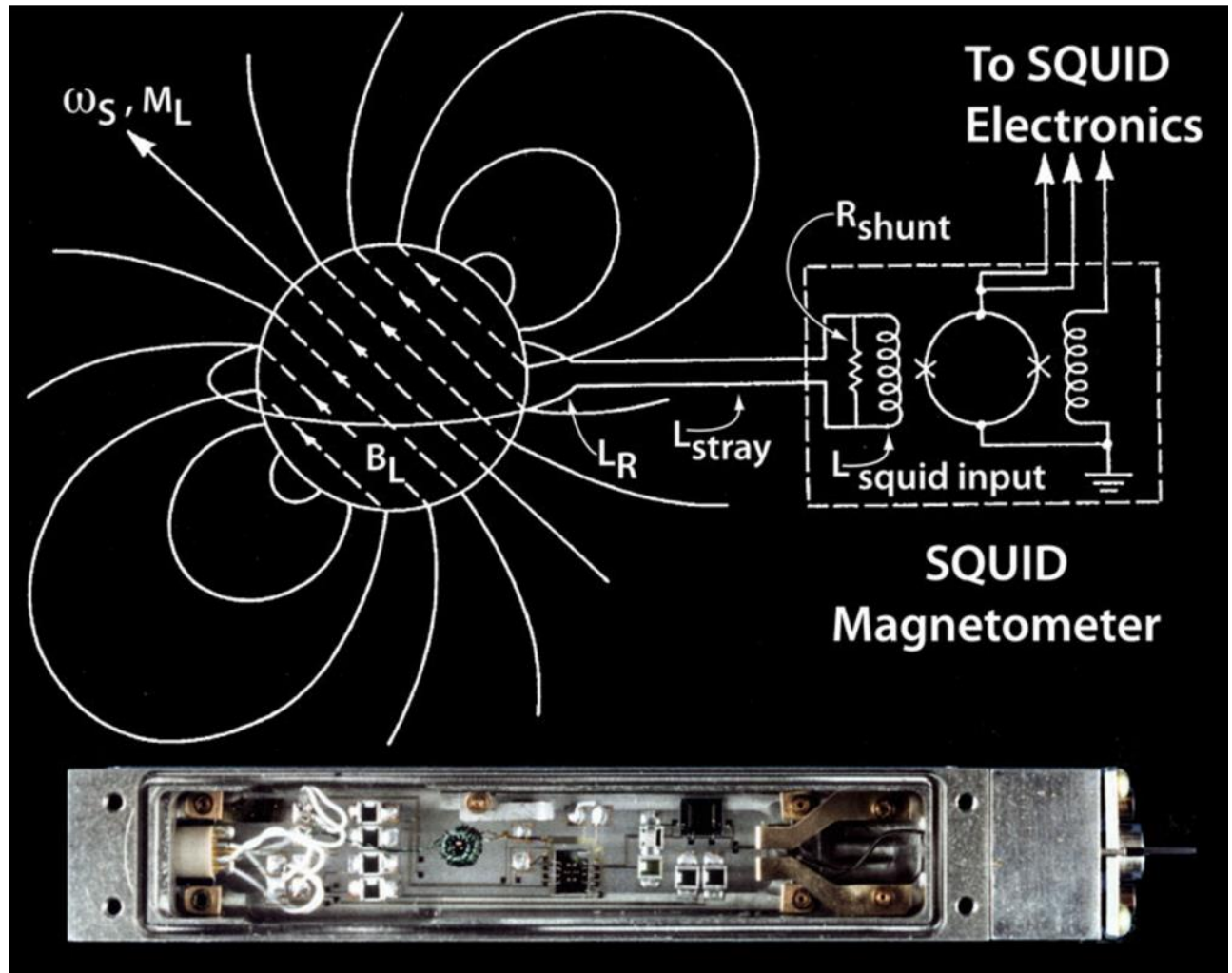


Геодезическая прецессия:

$$(-6601.8 \pm 18.3) \frac{\text{milliarcsecond}}{\text{year}} \quad (-6606.1 \pm 0.28\%)$$

Увлечение системы отсчёта:

$$(-37.2 \pm 7.2) \frac{\text{milliarcsecond}}{\text{year}} \quad (-39.2 \pm 0.19\%)$$



Спасибо за внимание!